

ตอนที่สาม  
เคมีความต้ม

## บทที่ 7

# กลศาสตร์คลาสสิกกับทฤษฎีความอนตัมเก่า

(Classical Mechanics and The Old Quantum Theory)

ในการศึกษากลศาสตร์ความอนตัมซึ่งศึกษาถึงระบบของอนุภาคเล็ก ๆ เช่น อิเล็กตรอนได้มีวัฒนาการมาจากการกลศาสตร์คลาสสิก (classical mechanics) ซึ่งมีพื้นฐานของกฎการเคลื่อนที่ของนิวตันและพัฒนาต่อมาโดยลาแกรนจ์ (Lagrange) และชาไมล์ตัน (Hamilton) ดังนั้นความคิดและผลของการทดลองทั้งหลายยังมีความเกี่ยวข้องกันอยู่ เช่น โมเมนตัม ตำแหน่ง เวลาและพลังงาน เป็นต้น จึงจำเป็นที่ต้องกล่าวถึงกลศาสตร์คลาสสิกบ้างเล็กน้อย

### 7.1) กลศาสตร์คลาสสิก

7.1.1) ระบบโคออร์ดิเนต (Coordinate systems) ในกลศาสตร์คลาสสิกการเคลื่อนที่ของอนุภาคหาได้จากกฎการเคลื่อนที่ของนิวตัน ซึ่งเขียนได้ในลักษณะ

$$m \frac{d^2 x}{dt^2} = F_x, \quad m \frac{d^2 y}{dt^2} = F_y, \quad m \frac{d^2 z}{dt^2} = F_z$$

เมื่อ  $x, y$  และ  $z$  เป็นโคออร์ดิเนตการที่เชื่อมของอนุภาค,  $m$  เป็นมวลของอนุภาค และ  $F_x, F_y, F_z$  เป็นแรงกระทำบนอนุภาคในแต่ละโคออร์ดิเนต กรณีนี้เป็นตัวอย่างหนึ่งของการใช้โคออร์ดิเนต

ความน่าสนใจในการใช้โคออร์ดิเนตก็เพื่อความเหมาะสมที่จะใช้อธิบายจุด เส้นตรง หรือพื้นผิวในที่ว่าง ระบบของโคออร์ดิเนตมีด้วยกันหลายชนิด ตัวอย่างเช่น 1) โคออร์ดิเนตการที่เชื่อมหรือเรคแทนกิวลาร์ (Cartesian or rectangular coordinates), 2) โคออร์ดิเนตสเฟียริกอลโพลาร์ (spherical polar coordinates), 3) โคออร์ดิเนตไชลินด्रิกอล (cylindrical coordinates), และ 4) โคออร์ดิเนตคอนไฟโคอล อิลลิปโซบอดอล (confocal ellipsoidal coordinates) การเลือกใช้โคออร์ดิเนตแบบใดก็ขึ้นกับปัญหาที่จะแก้ ปัญหางานอย่างไร ไม่เหมาะสมที่จะใช้โคออร์ดิเนตการที่เชื่อม เช่น การเคลื่อนที่ของดาวเคราะห์ต่าง ๆ ถ้าใช้โคออร์ดิเนตสเฟียริกอลโพลาร์จะง่ายกว่า เราต้องเลือกให้เหมาะสม อย่างไรก็ได้ การใช้โคออร์ดิเนตแบบใดก็จะต้องให้ผลออกมากลักษณะเดียวกัน

ส่วนใหญ่ปัญหานอกศาสตร์ค่อนข้าง มักจะต้องคำนวณหาอินทิกรอล (integrals) ในพื้นที่ (space) ทั้งหมด ซึ่งจำเป็นต้องทราบปริมาตรดิฟเฟอร์เรนเชียล, ดัง ในโคออร์ดิเนตแต่ละ ชนิด เช่น ในคาร์ทีเซียน

$$d\tau = dx dy dz \quad - \infty < x < +\infty \\ - \infty < y < +\infty \\ - \infty < z < +\infty$$

ในสเปียริกอลโพลาร์

$$d\tau = r^2 \sin\theta d\theta d\phi \quad 0 < r < +\infty \\ 0 < \theta < \pi \\ 0 < \phi < 2\pi$$

7.1.2) ระบบอนุรักษ์ (Conservative systems) ระบบอนุรักษ์นั้นบอกถึงเงื่อนไขที่ปริมาณทางฟิสิกส์อย่างโดยย่างหนึ่งไม่มีการเปลี่ยนแปลง, เป็นระบบที่ถูกแยกออกจากโลกเดียว (isolated system) ไม่มีอิทธิพลจากภายนอกภายนอก และไม่มีแรงภายใน เช่น ความติด (friction) มาเกี่ยวข้องด้วย, จริง ๆ แล้วระบบโดยเดียวเป็นเรื่องในอุดมคติ เนื่องจากการวัดปริมาณได้ ๆ ในระบบก็ตาม จะต้องถูกรบกวนอย่างแน่นอนจากอิทธิพลภายนอก แต่ในกลศาสตร์คลาสสิกจะต้องพยายามลด การรบกวนลงให้อยู่ที่สุด ซึ่งระบบอนุรักษ์นี้มีทั้งอนุรักษ์มวล อนุรักษ์พลังงาน ฯลฯ เป็นต้น เราจะพิจารณาระบบอนุรักษ์พลังงาน ซึ่งหมายถึงผลรวมของพลังงานจันทร์ (T) และพลังงานศักย์ (V) มีค่าคงที่ไม่เปลี่ยนแปลงไปกับเวลา หรืออาจหมายถึงระบบที่มีแรงเป็นค่าลบเกรียงของ พลังงานศักย์ คือ

$$F_i = -\nabla_i V \quad \dots \dots (7.1)$$

เพื่อแสดงว่าคำจำกัดความ 2 แบบนี้เหมือนกัน ลองพิจารณาถึงกรณีอนุภาคเดี่ยวเคลื่อนที่ใน 1 มิติให้เป็นพิกัด  $x$  ตามกฎข้อที่ 2 ของนิวตันคือ

$$F_x = \frac{md^2x}{dt^2} \quad \dots \dots (7.2)$$

สมการ (7.1) เขียนใหม่ได้เป็น

$$F_x = -\frac{dv(x)}{dx} \quad \dots \dots (7.3)$$

สมการ (7.2) เท่ากับ สมการ (7.3) เพราจะนี้

$$-\frac{dV(x)}{dx} = m \frac{d^2x}{dt^2} = mx'' = \frac{md\dot{x}}{dt} \dots\dots (7.4)$$

อินติเกรตสมการ (7.4)

$$\begin{aligned} -\int \frac{dV(x)}{dx} dx &= - \int dV = m \int \frac{d\dot{x}}{dt} dx \\ &= m \int d\dot{x} \frac{dx}{dt} = m \int \dot{x} d\dot{x} \end{aligned}$$

$$\text{เพราจะนี้ } -V(x) + C = \frac{1}{2} m \dot{x}^2$$

$$\frac{1}{2} m \dot{x}^2 + V(x) = C$$

$$\text{หรือ } T + V = C \dots\dots (7.5)$$

โดยที่ C เป็นค่าคงที่ของอินติเกรต ตั้งนี้มารวบรวมของพลังงานศักย์และพลังงานจลน์เมื่อค่าคงที่ไม่ขึ้นกับเวลา และตรงกับค่าจำากัดความในสมการ (7.1) ด้วย

7.1.3) สมการของลากรง (Lagrange's equations) สมการการเคลื่อนที่ของนิวตันจะแก้ได้ร่ายในระบบที่ใช้ไกอร์ดิเนตкар์ทีเซียน สำหรับไปใช้ไกอร์ดิเนตอื่น ๆ จะถูกหาก ตั้งนี้สิ่งได้ มุกคิดสมการการเคลื่อนที่ในทอนของไกอร์ดิเนตทั่ว ๆ ไป (generalized coordinates, q) เพื่อให้สะดวกในการใช้แทนที่จะใช้ไกอร์ดิเนตкар์ทีเซียนของอนุภาคแรกเป็น  $x_1, y_1, z_1$  ก็จะใช้  $x_1, x_2, x_3$  แทน ถ้าเป็นอนุภาคที่สองก็จะใช้  $x_4, x_5, x_6$  เป็นต้น มุกคิดสมการแบบนี้คือ ลากรง และสามารถตั้ง กรณีอนุภาค N อนุภาค จะมี  $q_1, \dots, q_N$  ไกอร์ดิเนต เมื่อใช้ในทอนของไกอร์ดิเนตทั่ว ๆ ไป ( $q$ ) ก็จะเป็น  $q_1, \dots, q_{3N}$  พิจารณาภัยข้อที่ 2 ของนิวตัน

$$m_i \frac{d^2 x_i}{dt^2} = F_i \dots\dots (7.6)$$

การแปรตามโถอร์ดิเนตของ  $x$  อาจเขียนให้อยู่ในท่อนของการแปรตามโถอร์ดิเนต  
ของ  $q$  ในลักษณะที่สัมพันธ์กันดังนี้

$$dx_i = \sum_j \frac{\partial x_i}{\partial q_j} dq_j \quad \dots \dots (7.7)$$

งานที่เกิดขึ้นของระบบทุกโถอร์ดิเนตจะเป็น

$$dW = \sum_i F_i dx_i = \sum_i \sum_j F_i \frac{\partial x_i}{\partial q_j} dq_j \quad \dots \dots (7.8)$$

$$\text{ถ้าให้ } Q_j = \sum_i F_i \frac{\partial x_i}{\partial q_j}$$

สมการ (7.8) จะกลายเป็น

$$dW = \sum_j Q_j dq_j \quad \dots \dots (7.9)$$

ถ้าแทน  $F_i$  จากสมการ (7.6) ลงในสมการ (7.8) จะได้

$$dW = \sum_i m_i \frac{d^2 x_i}{dt^2} dx_i = \sum_i \sum_j m_i \frac{d^2 x_i}{dt^2} \frac{\partial x_i}{\partial q_j} dq_j \quad \dots \dots (7.10)$$

สมการ (7.9) เท่ากับสมการ (7.10)

$$\sum_j Q_j dq_j = \sum_i \sum_j m_i \frac{d^2 x_i}{dt^2} \frac{\partial x_i}{\partial q_j} dq_j \quad \dots \dots (7.11)$$

จากสมการ (7.11) เราได้สมการ  $j$  สมการ ท้า  $dq_j$  ทั้ง 2 ข้างมีค่าเท่ากัน ดังนั้น

$$\sum_i m_i \frac{d^2 x_i}{dt^2} \frac{\partial x_i}{\partial q_j} = Q_j \quad \dots \dots (7.12)$$

ด้านซ้ายมือของสมการอาจทำให้อยู่ในรูปธรรมตามากขึ้น โดยพิจารณาสมการ  
(7.7) อาจเขียนเป็น

$$\frac{dx_i}{dt} = \sum_j \frac{\partial x_i}{\partial q_j} \frac{dq_j}{dt} \quad \dots \dots (7.13)$$

ถ้าให้  $\frac{dq_k}{dt} = \dot{q}_k$ ,  $\frac{dx_i}{dt} = \dot{x}_i$  คือเพียงเรนติເຍຕ  $\dot{x}_i$  สัมพันธ์กับ  $\dot{q}_k$   
จะได้

$$\frac{\partial \dot{x}_i}{\partial q_k} = \frac{\partial x_i}{\partial q_k} \quad \dots \dots (7.14)$$

และ

$$\frac{d}{dt} \frac{\partial x_i}{\partial q_k} = \frac{\partial \dot{x}_i}{\partial q_k} \quad \dots \dots (7.15)$$

เทียบกับสมการ (7.13) จะได้

$$\frac{\partial \dot{x}_i}{\partial q_k} = \sum_j \frac{\partial}{\partial q_k} \frac{\partial x_i}{\partial q_j} \frac{dq_j}{dt} \quad \dots \dots (7.16)$$

และ

$$\frac{d}{dt} \frac{\partial x_i}{\partial q_k} = \sum_j \frac{\partial}{\partial q_j} \frac{\partial x_i}{\partial q_k} \frac{dq_j}{dt} \quad \dots \dots (7.17)$$

จากสมการที่ (7.12) ด้านซ้ายมือ ถ้าเขียนเป็น

$$\sum_i m_i \frac{d^2 x_i}{dt^2} \frac{\partial x_i}{\partial q_j} = \sum_i m_i \frac{d}{dt} \left( \frac{dx_i}{dt} \frac{\partial x_i}{\partial q_j} \right) - \sum_i m_i \frac{dx_i}{dt} \frac{d}{dt} \frac{\partial x_i}{\partial q_j} \dots \dots (7.18)$$

ใช้ความสัมพันธ์ในสมการที่ (7.14) และ (7.15) จะได้สมการ (7.18) ในรูปใหม่เป็น

$$\begin{aligned}
 \sum_i m_i \frac{d^2 x_i}{dt^2} \frac{\partial x_i}{\partial q_j} &= \sum_i m_i \frac{d}{dt} \left( \frac{dx_i}{dt} \frac{\partial \dot{x}_i}{\partial q_j} \right) - \sum_i m_i \frac{dx_i}{dt} \frac{\partial \dot{x}_i}{\partial q_j} \\
 &= \frac{d}{dt} \left( \frac{\partial}{\partial \dot{q}_j} \left[ \sum_i \frac{1}{2} m_i \left( \frac{dx_i}{dt} \right)^2 \right] \right) - \frac{\partial}{\partial q_j} \left[ \sum_i \frac{1}{2} m_i \left( \frac{dx_i}{dt} \right)^2 \right] \\
 &= \frac{d}{dt} \frac{\partial T}{\partial \dot{q}_j} - \frac{\partial T}{\partial q_j} \quad \dots \dots (7.19)
 \end{aligned}$$

โดยที่  $T = \text{พลังงานจลน์ของระบบ} = \sum_i \frac{1}{2} m_i \left( \frac{dx_i}{dt} \right)^2$

สมการ (7.19) เท่ากับสมการ (7.12) เพราะฉะนั้น

$$\frac{d}{dt} \frac{\partial T}{\partial \dot{q}_j} - \frac{\partial T}{\partial q_j} = Q_j \quad \dots \dots (7.20)$$

จาก  $Q_j = \sum_i F_i \frac{\partial x_i}{\partial q_j}$  ถ้า  $F_i = -\frac{\partial V}{\partial x_i}$  เมื่อ  $V$  เป็นพลังงานศักย์

เพราะฉะนั้น  $Q_j = -\sum_i \frac{\partial V}{\partial x_i} \frac{\partial x_i}{\partial q_j} = -\frac{\partial V}{\partial q_j}$

แทนค่า  $Q_j$  ในสมการ (7.20)

$$\begin{aligned}
 \frac{d}{dt} \frac{\partial T}{\partial \dot{q}_j} - \frac{\partial T}{\partial q_j} &= -\frac{\partial V}{\partial q_j} \\
 \frac{d}{dt} \frac{\partial T}{\partial \dot{q}_j} - \frac{\partial}{\partial q_j} (T - V) &= 0 \quad \dots \dots (7.21)
 \end{aligned}$$

เนื่องจาก  $V$  เป็นพังก์ชันของโคลอร์ดิเนตอย่างเดียว สมการ (7.21) สามารถเรียบง่ายขึ้นในเทอมของพังก์ชัน  $L = T - V$  จะได้

$$\frac{d}{dt} \frac{\partial L}{\partial \dot{q}_j} - \frac{\partial L}{\partial q_j} = 0 \quad \dots \dots (7.22)$$

(เทอมแรกแทน  $T = L$  ได้ เพราะว่าเป็นพังก์ชันของความเร็ว  $q_i$ )

$L$  เรียกว่า พังก์ชันลาแกรนเจียนของระบบ สมการ (7.22) เรียกว่า สมการการเคลื่อนที่ของสสารเจียน ซึ่งใช้กับระบบที่มีไอกอร์ดิเนตแบบใดก็ได้ ตัวอย่างเช่น พิจารณาการเคลื่อนที่แบบชั้มเปลษาร์โนนิกส์ (simple harmonic)

$$\begin{array}{lll} \text{เมื่อให้} & q_j & = x \\ \text{และ} & \dot{q}_j & = \dot{x} \\ \text{จาก} & T & = \frac{1}{2} m \dot{x}^2 \\ & V & = \frac{1}{2} kx^2 \end{array}$$

$$\text{เพราจะนั้น } L = T - V = \frac{1}{2} m \dot{x}^2 - \frac{1}{2} kx^2$$

เขียนสมการ การเคลื่อนที่เป็น

$$\frac{\partial L}{\partial \dot{x}} = m \ddot{x} \quad \text{และ} \quad \frac{\partial L}{\partial x} = -kx$$

แทนค่าลงในสมการ (7.22) จะได้

$$\frac{d}{dt} (m \dot{x}) + kx = 0$$

$$\text{เพราจะนั้น} \quad m \ddot{x} = -kx$$

ผลลัพธ์ที่ได้ตรงกับผลที่ได้จากการถูข้อที่ 2 ของนิวตัน

7.1.4) สมการของฮามิลตัน (Hamilton's equations) การเขียนพลังงานจลน์ในทอนของโมเมนตัมแทนความเร็วนั้น เหมาะสำหรับการแก้ปัญหาในหลาย ๆ กรณี ดังนั้นถ้าให้  $p_i$  เป็นโมเมนตัมทั่ว ๆ ไป(generalized momenta) ซึ่งสัมพันธ์กับไอกอร์ดิเนต  $q_i$  ในลักษณะ

$$p_i = \frac{\partial L}{\partial \dot{q}_i} \quad \dots \dots (7.23)$$

เพื่อที่จะหาสมการการเคลื่อนที่ในทอมของ  $p_i$  และ  $q_i$  แทนของ  $q_i$  และ  $\dot{q}_i$  ในสมการการเคลื่อนที่ของลาแกรนจีyan ซึ่งเป็นสมการดิฟเฟอเรนเชียลลำดับที่ 2 จำนวน  $3N$  สมการ เพื่อระดับนี้ การเปลี่ยนเป็นสมการดิฟเฟอเรนเชียลลำดับที่ 1 จะได้จำนวน  $6N$  สมการในทอมของ  $p_i$  และ  $q_i$  พิจารณาดิฟเฟอเรนเชียล

$$dL = \sum_i \left( \frac{\partial L}{\partial \dot{q}_i} d\dot{q}_i + \frac{\partial L}{\partial q_i} dq_i \right) \dots (7.24)$$

จากสมการ (7.22) และ (7.23) จะได้

$$\frac{\partial L}{\partial q_i} = \frac{d}{dt} \frac{\partial L}{\partial \dot{q}_i} = \dot{p}_i \dots (7.25)$$

เพื่อระดับนี้สมการ (7.24) จะเปลี่ยนเป็น

$$dL = \sum_i (p_i d\dot{q}_i + \dot{p}_i dq_i) \dots (7.26)$$

$$\text{เนื่องจาก } d(\sum_i p_i \dot{q}_i) = \sum_i (p_i d\dot{q}_i + \dot{q}_i dp_i) \dots (7.27)$$

สมการ (7.27) ลบด้วยสมการ (7.26) จะได้

$$d(\sum_i p_i \dot{q}_i - L) = \sum_i (\dot{q}_i dp_i - \dot{p}_i dq_i) \dots (7.28)$$

ปริมาณ  $(\sum_i p_i \dot{q}_i - L)$ , =  $H$  หมายถึงพังก์ชัน ชาเมลโทเนียน (Hamiltonian function) ของระบบ เพื่อระดับนี้

$$dH = \sum_i (\dot{q}_i dp_i - \dot{p}_i dq_i)$$

เขียนในรูปของพังก์ชันของ  $p_i$  และ  $q_i$  โดยอนุพันธ์ย่อย (partial derivative)

$$\frac{\partial H}{\partial p_i} = \dot{q}_i \text{ และ } \frac{\partial H}{\partial q_i} = -\dot{p}_i \dots (7.29)$$

สมการ (7.29) คือ สมการการเคลื่อนที่ของชาเมลตัน โดยที่  $H$  เป็นพังก์ชันของโโนเมน ตัม  $p_i$  และโโคอร์ดินेट  $q_i$

$$\text{จาก } H' = \sum_i p_i \dot{q}_i - L$$

ถ้าแทนค่า  $p_i = \frac{\partial L}{\partial \dot{q}_i}$  (จากสมการ 7.23) และ  $L = T - V$  ลงไป จะได้

$$H = \sum_i \dot{q}_i \frac{\partial L}{\partial \dot{q}_i} - T + V \quad \dots \dots (7.30)$$

ในระบบอนุรักษ์  $L = T(\dot{q}_i, q) - V(q, t)$  โดยอนุพันธ์ย่ออย

เพราจะนั้น  $\frac{\partial L}{\partial \dot{q}_i} = \frac{\partial T}{\partial \dot{q}_i}$  แทนค่าในสมการ (7.30) จะได้

$$H = \sum_i \dot{q}_i \frac{\partial T}{\partial \dot{q}_i} - T + V \quad \dots \dots (7.31)$$

$$\text{จาก } T = \frac{1}{2} m \dot{q}_i^2$$

$$\text{เพราจะนั้น } \frac{\partial T}{\partial \dot{q}_i} = \frac{1}{2} m (2 \dot{q}_i) = m \dot{q}_i$$

$$\text{ถ้าด้วย } \dot{q}_i \text{ ทั้ง 2 ข้าง } \dot{q}_i \frac{\partial T}{\partial \dot{q}_i} = m \dot{q}_i^2 = 2T$$

$$\text{ถ้าในระบบที่มีอนุภาคมาก ๆ } T = \frac{1}{2} \sum_i m_i \dot{q}_i^2 \text{ ก็จะได้}$$

$$\sum_i \dot{q}_i \frac{\partial T}{\partial \dot{q}_i} = 2T \text{ แทนค่าในสมการ (7.31) จะได้}$$

$$H = 2T - T + V = T + V \quad \dots \dots (7.32)$$

นั่นคือพังก์ชัน harmonic ใดเนี่ยนาทีกับพลังงานทั้งหมดของระบบ คือ ผลรวมของพลังงาน  
กลไกและพลังงานศักย์นั่นเอง

### 7.1.5) สมมติฐานเบื้องต้นของกลศาสตร์คลาสิก แบ่งออกได้เป็นข้อ ๆ ดังนี้

ก) ไม่มีข้อจำกัดเกี่ยวกับความแม่นยำในการวัดตัวแปรพลวัต (dynamical variables) ไม่ว่าหนึ่งตัวหรือมากกว่าหนึ่งตัวตาม คือวัดได้แม่นยำ นอกจากข้อจำกัดของเครื่องมือเท่านั้น

ข) ไม่มีข้อจำกัดเกี่ยวกับจำนวนของตัวแปรพลวัต คือ สามารถวัดได้พร้อม ๆ กันอย่างแม่นยำ

ค) เพราะว่าความเร็วเปลี่ยนแปลงอย่างต่อเนื่องกับเวลา ทำให้พัฒนาจนเป็นลิ่ยแปลงอย่างต่อเนื่องไปด้วย นั่นก็คือ ไม่มีข้อจำกัดเกี่ยวกับค่าของตัวแปรพลวัต คือ จะมีค่าเท่าไรก็ได้

จะเห็นได้ว่า ในอนุภาคที่เล็กมาก ๆ สมมติฐานทั้ง 3 ข้อนี้ต้องล้มเลิกไป กลศาสตร์คลาสิกประสมความล้มเหลวที่จะนำไปใช้ขอรบกวนระบบเช่นนี้ได้ จึงเกิดกลศาสตร์แบบใหม่ขึ้นมาเพื่อใช้ขอรบกวนพฤติกรรมของระบบที่เป็นอนุภาคเล็ก ๆ เรียกว่า กลศาสตร์ควอนตัม ซึ่งมีวัฒนาการต่อเนื่องมาจากทฤษฎีความอนตัมเก่า

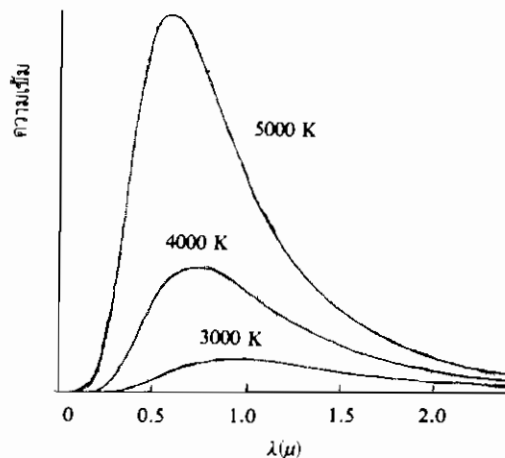
## 7.2) จุดเริ่มของทฤษฎีความอนตัม (Origins of The Quantum Theory)

ในตอนสิ้นสุดคริสต์วรรษที่ 19 มีปรากฏการณ์บางอย่างที่กลศาสตร์คลาสิกขอรบกวนให้ถูกต้องไม่ได้ เช่น การแผ่รังสีของวัตถุดำ ปรากฏการณ์โฟโตอิเล็กทริก และอะตอมมิกสเปกตร์ เป็นต้น นักวิทยาศาสตร์จึงเริ่มเปลี่ยนจากการขอรบกวนเป็นการขอรบกวนโดยใช้ คณิตศาสตร์ เมื่อ แมกซ์ พลังค์ (Max Planck) ได้ตั้งทฤษฎีความอนตัมขึ้นในปี ค.ศ. 1900 เพื่อใช้ขอรบกวนปัญหานางประการที่เกิดจากการศึกษาเรื่องการแผ่รังสี ในหัวข้อต่อไปนี้จะกล่าวถึงการทดลองการขอรบกวนโดยใช้กลศาสตร์คลาสิกล้มเหลวอย่างไร และการใช้ทฤษฎีความอนตัมมาขอรบกวนได้ผลดี เช่นไร ซึ่งนับเป็นจุดเริ่มของทฤษฎีความอนตัม

### 7.2.1) การแผ่รังสีของวัตถุดำ (Black-body radiation)

ถ้าวัตถุถูกทำให้ร้อน มันจะคายรังสีแม่เหล็กไฟฟ้าออกมา ขณะที่อุณหภูมิยังไม่สูงมากนัก รังสีที่แผ่ออกมากส่วนใหญ่จะมีพลังงานอยู่ในบริเวณความถี่ต่ำ เช่น อินฟราเรด (IR) มีความยาวคลื่นมากซึ่งตามองไม่เห็น แต่จะรู้สึกร้อน เมื่ออุณหภูมิสูงขึ้น ความยาวคลื่นจะลดลง ความถี่สูงขึ้น จนกระทั่งประมาณ  $600^{\circ}\text{C}$  จะเริ่มมองเห็นเป็นสีแดง ถ้าเพิ่มอุณหภูมิต่อไป จะเปลี่ยนจากแดงไปเป็นเหลือง จนกระทั่งถึง  $2000^{\circ}\text{C}$  จะมองไม่เห็น ซึ่งนี้เป็นรังสีอุլตราไวโอเลต (UV)

ในระบบอุณหภูมิจะใช้แบบจำลองโดยสมมติให้วัตถุที่ใช้ศักยภาพเป็นชนิดที่คุณและคายรังสีเมื่อเหล็กไฟฟ้าได้ดีที่สุด ซึ่งก็คือวัตถุคำ หมายถึง วัตถุที่มีสมบัติของวัตถุคำนั้นเอง มีสมบัติในการคุณค่าในสีเหลืองเหล็กไฟฟ้าทุกชนิด และไม่สะท้อนรังสีใด ๆ ทั้งสิ้น เพราะฉะนั้นรังสีที่วัดได้ก็เป็นรังสีที่เผยแพร่ออกมายังวัตถุนั้นร้อยเปอร์เซ็นต์ ไม่มีส่วนที่สะท้อนจากที่อื่น ๆ เลย เช่น ดวงอาทิตย์ก็เป็นวัตถุคำ ถ้าว่ารังสีที่เผยแพร่องามไม่มีการสะท้อนจากดวงดาวอื่น ๆ ในทางปฏิบัติจะสร้างวัตถุคำโดยใช้ภาษาและกล่าวภาษาหนึ่งที่มีรูเล็ก ๆ รูไว้ติดต่อถึงช่องว่างภายในจะมีรังสีผ่านเข้าทางรูนี้ข้าไปในช่องว่างและสะท้อนกลับไปกลับมาอยู่ภายในจนถูกคุกคันในภาษาหนึ่น และรังสีที่ออกจากภาษาหน้านั้นรูเล็ก ๆ นี้จะเป็นตัวแทนของรังสีที่อยู่ภายใน ความเข้มของรังสีที่เผยแพร่องามจากรูจะแปรผันกับความยาวคลื่นที่อุณหภูมิต่าง ๆ ของภาษาหนึ่น ผลการวิเคราะห์จากการทดลองด้วยการวัดรังสีที่ผ่านออกมายังรูที่อุณหภูมิต่าง ๆ แสดงไว้ในรูปที่ 7.1

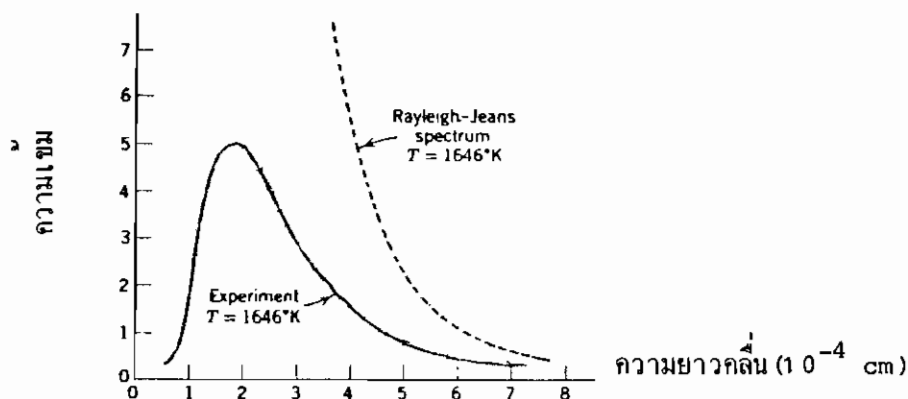


รูปที่ 7.1 การแจกแจงพลังงานของวัตถุคำตามผลการทดลอง

ผลการทดลองชี้ให้เห็นว่า ณ. อุณหภูมิคงที่ค่าหนึ่ง พลังงานที่เผยแพร่องามจะมีความเข้มน้อยที่ความถี่ต่ำ ๆ (ความยาวคลื่นมาก) และจะเพิ่มสูงขึ้นเมื่อความถี่สูงจนถึงความถี่ค่าหนึ่งจะมีความเข้มสูงสุด หลังจากนั้นเมื่อความถี่สูงยิ่งขึ้นไปอีกค่าความเข้มจะเริ่มลดลง และเมื่อเพิ่มอุณหภูมิ การเผยแพร่สิ่งส่วนใหญ่จะอยู่ในย่านที่มีความถี่สูง ๆ มากกว่าย่านความถี่ต่ำ ๆ

สิ่งที่เราต้องการก็คือ อย่างการระบุคร่าวๆ ในการคำนวณการเผยแพร่องามของวัตถุคำว่าที่ออกมานะเป็นสีน้ำเงิน ตามรูป 7.1 นั้นออกมายังไงไว จึงได้มีศักยภาพประยุกต์การณ์โดย ลอร์ด เรลลิท (Lord Rayleigh.) กับ เชอร์ เจมส์ จีนส์ (Sir James Jeans)

โดยเขาใช้ทฤษฎีของกลศาสตร์คลาสสิกมาอธิบายว่า แสงเป็นคลื่นแม่เหล็กไฟฟ้า ถูกเปล่งออกมาเนื่องจากการสั่นสะเทือนของวัตถุที่มีประจุบวก และลบ เมื่อประจุไฟฟ้าสั่นก็จะมีรังสีออกมารอบตัว เนื่องจากการสั่นจะสั่นด้วย ความถี่เท่าใดก็ได้ พอยอดลัพงานเปลี่ยนไปความถี่ก็จะเปลี่ยนไปด้วย ทำให้แสงที่แผ่ออกมามีความถี่ต่อเนื่อง และได้คำนวณความเข้มของแสงที่ความถี่ต่าง ๆ โดยหาจำนวนตัวสั่นสะเทือน (oscillator) ที่ความถี่นั้นเสียก่อน ปรากฏว่าได้ผลตามรูป 7.2 เส้น



รูปที่ 7.2 เปรียบเทียบรังสีที่ช่วงความยาวคลื่นต่าง ๆ จากผลการทดลองกับทฤษฎีของเรลีก กับจีนส์

จากรูปจะเห็นได้ว่ารังสีส่วนใหญ่อยู่ในช่วงของความถี่สูง (ความยาวคลื่นสั้น) นั่นคือจะให้รังสีอุ่นตราไว้โดยเด่นเป็นส่วนใหญ่ซึ่งไม่ตรงกับผลการทดลอง วิธีการคำนวณความเข้มของพลังงาน (energy density) ของตัวสั่นสะเทือนของวัตถุด้ำ ก็คือ

$$u = \bar{E} \cdot N_{\nu} \quad \dots \dots (7.33)$$

เมื่อ  $u$  = ความเข้มของพลังงาน  $\bar{E}$  = พลังงานเฉลี่ย และ  $N_{\nu}$  = จำนวนตัวที่สั่นสะเทือนที่มีความถี่  $\nu$

$$\text{โดยที่ } N_{\nu} = \frac{8\pi\nu^2}{c^3} \quad \dots \dots (7.34)$$

เมื่อ  $c$  เป็นความเร็วของแสง

ทั้งเรลิล์และจีนส์ถือว่า คลื่นแม่เหล็กไฟฟ้าทางกลศาสตร์คลาสสิกมีพลังงาน =  $kT$   
เมื่อ  $k$  เป็นค่าคงที่ในบทซ์แมนน์ (Boltzmann constant) และ  $T$  เป็นอุณหภูมิสัมบูรณ์

$$\text{เพราะฉะนั้น} \quad \bar{E} = kT \quad \dots \dots (7.35)$$

แทนค่า  $N$ , จากสมการ (7.34) กับ  $E$  จากสมการ (7.35) ลงในสมการ (7.33) จะได้

$$u = \frac{8\pi y^2 kT}{c^3} \quad \dots \dots (7.36)$$

สมการ (7.36) เรียกว่า สมการของเรลิล์-จีนส์ อาจเปลี่ยน  $y = \frac{c}{\lambda}$  แล้ว  
เขียนกราฟแสดงความสัมพันธ์ระหว่าง  $u$  กับ  $\lambda$  ตามรูปที่ 7.2 พิจารณาตามรูปแล้วจะพบว่าผลที่ได้  
จากทฤษฎีจะตรงกับผลการทดลองในช่วงความถี่ต่ำ ๆ แต่พอความถี่สูง ๆ คือช่วงความยาวคลื่นสั้น ๆ  
ค่าที่คำนวนได้จากทฤษฎีจะมีค่าเข้าใกล้หนึ่นเดียว แต่ค่าจากการทดลองกลับลดลงอีกเมื่อความถี่สูง ๆ  
คือจะมีความเข้มสูงสุดที่ความถี่ค่าหนึ่งหลังจากนั้นจะลดลงแสดงว่าทฤษฎีของเรลิล์-จีนส์ ใช้ได้ดี  
เฉพาะช่วงความถี่ต่ำ ๆ นับเป็นความล้มเหลวของกลศาสตร์คลาสสิกในการที่จะอธิบายปรากฏการณ์นี้

บัญหาที่ได้โดย มัคค์ พลางค์ (Max Planck) ในปี ค.ศ. 1900 เขาเลิกลัมความคิดของกล  
ศาสตร์คลาสสิกที่ถือว่า พลังงานของหัวสั่นสะเทือน (oscillator) จะเป็นค่าใด ๆ ก็ได้ที่ต้องเนื่องกัน แต่เขา  
เสนอใหม่ว่า พลังงานที่ออกมากจากหัวสั่นสะเทือนจะมีค่าเป็นช่วง ๆ หรือเป็นก้อนเรียกว่า “ควอนตัม” แต่  
สถานะตอนต้นมีพลังงานขึ้นกับค่าความถี่  $n$  คือ  $1$  ควอนตัมมีค่าเท่ากับค่าคงที่หัวหนึ่งคูณกับความถี่ ( $hy$ )  
ค่าคงที่นี้เรียกว่า ค่าคงที่ของพลางค์ ( $h$ )  $= 6.6262 \times 10^{-34} \text{ J.S}$  หัวสั่นแต่ละหัวจะมีพลังงานไม่ต่อ  
เนื่องแต่จะมีอยู่มาเป็นช่วง ๆ เป็นค่าพหุคูณของ  $h$  คือ

$$E = 0, hy, 2hy, 3hy, \dots nhy$$

$n$  มีค่าดังแต่  $0 - n$  และต้องเป็นเลขลงตัว เรียกว่าจำนวนควอนตัม (quantum number)  
จากทฤษฎีของพลางค์จะได้พลังงานแฉลี่ยเป็น

$$\bar{E} = hy[e^{hy/kT} - 1]^{-1} \quad \dots \dots (7.37)$$

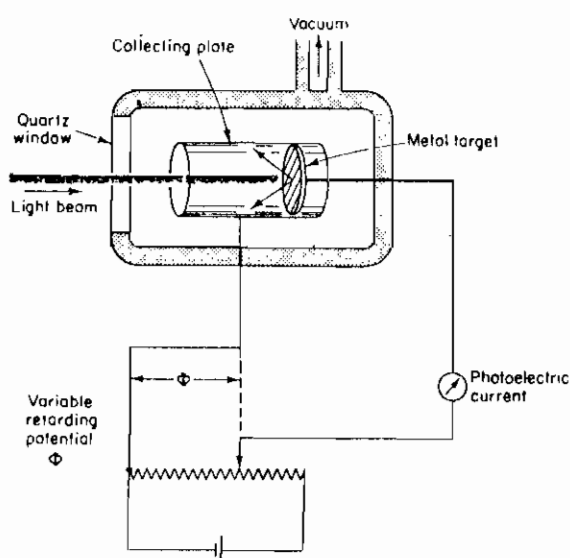
นำ  $\bar{E}$  ที่ได้ใหม่นี้ไปแทนค่าในสมการ (7.33) จะได้

$$u = \frac{8\pi y^2}{c^3} \frac{hy}{[e^{hy/kT} - 1]} \quad \dots \dots (7.38)$$

สมการนี้ค้นพบโดยก้าวให้ผลตรงกับการทดลอง จึงนับเป็นจุดเริ่มของทฤษฎีความคิดที่ทำให้เข้าใจถึงพลังงานแบบเป็นช่วง ๆ ซึ่งต่อมาไอโอนสไตน์ก็พบว่าแสงก็มีลักษณะเป็นความคิดเช่นกัน ไม่เฉพาะแค่ตัวสั่นสะเทือนอย่างเดียว

### 7.2.2) ปรากฏการณ์โฟโตอิเล็กทริก (The photoelectric effect)

ในปี 1887 ไฮนริช เฮิร์ทซ์ (Heinrich Hertz) ได้สังเกตพบว่าอิเล็กตรอนจะถูกปล่อยออกมากจากผิวโลหะได้มีเมื่อแสงตกกระทบและมีความยาวคลื่นที่เหมาะสมเรียกว่า ปรากฏการณ์โฟโตอิเล็กทริก การที่อิเล็กตรอนถูกปล่อยออกมากจะขึ้นกับความถี่ ไม่ขึ้นกับความเข้ม เมื่อจากเวลาให้รังสีอุլตราไวโอเลตความเข้มมากน้อยแค่ไหนอิเล็กตรอนถูกปล่อยออกมากได้ แต่ถ้าใช้รังสีอินฟราเรดจะไม่ได้ผลเลย แม้จะให้ความเข้มสูง ๆ ก็ตาม (ยกเว้น โลหะอัลคาไล เช่น K, Cs มีพลังงานไอโอดีไซซ์ชั้นต่ำ) เครื่องมือในการศึกษาปรากฏการณ์นี้แสดงไว้ในรูปที่ 7.3



รูปที่ 7.3 เครื่องมือสำหรับการศึกษาปรากฏการณ์โฟโตอิเล็กทริก

ในรูปจะพิจารณาเห็นว่า เมื่อจำแสง (light beam) ตกกระทบแผ่นโลหะ (metal target) ซึ่งเป็นขั้นบวกจะมีอิเล็กตรอนหลุดจากผิวโลหะมาตักกระทบกับอิเล็กโทรดอีกอันหนึ่ง (collecting plate) ซึ่งต่อกับขั้นลบ ทำให้เกิดกระแสไฟฟ้า เรียก กระแสโฟโตอิเล็กทริก (photoelectric current) จากการทดลองพบว่า การที่อิเล็กตรอนจะถูกปล่อยออกมากได้ต่อเมื่อแสงที่ตักกระทบมีความถี่ค่าหนึ่ง เรียกว่า ความถี่ขีดเริ่ม (threshold frequency,  $\nu_0$ ) ซึ่งส่วนใหญ่จะอยู่ในช่วงอุลตราไวโอเลต

เลนาร์ด (Lenard) ได้ศึกษาปัญหานี้เพิ่มเติมและสรุปว่า

- 1) พลังงานของแต่ละอิเล็กตรอนที่หลุดจากผิวโลหะในขั้นกับความเข้มของแสง
- 2) การเพิ่มความเข้มของแสง จะทำให้จำนวนอิเล็กตรอนที่หลุดออกจากเพิ่มขึ้นเท่า

นั้น

- 3) พลังงานของอิเล็กตรอนที่หลุดออกจากเพิ่มขึ้นกับความถี่เท่ากัน

ตามทฤษฎีของกลศาสตร์คลาสสิก พลังงานของแสงที่ถูกกระทบกับแผ่นโลหะจะขึ้นกับความถี่และความเข้ม เพาะจะนับถ้าแสงที่มีความถี่ต่ำแต่มีความเข้มสูงมาก จะทำให้อิเล็กตรอนหลุดออกจากผิวโลหะได้ หรือว่าถ้าแสงที่มีความถี่สูงแต่ความเข้มต่ำมากก็ไม่น่าจะมีพลังงานเพียงพอที่ทำให้อิเล็กตรอนหลุดออกจากผิวโลหะได้ นั่นคือ ทฤษฎีของกลศาสตร์คลาสสิกไม่สามารถอธิบายปรากฏการณ์นี้ได้เช่นกัน

ในปี 1905 ไอน์สไตน์ (Einstein) ได้เสนอทฤษฎีที่สามารถอธิบายปรากฏการณ์ไฟโตอิเล็กตริกนี้ได้และจากผลอันนี้ทำให้เขาได้รับรางวัลโนเบลในปี 1921 ไอน์สไตน์ได้นำเอาความคิดที่มัคซ์ พลางค์ เสนอไว้ก่อนหน้านี้ ที่นบก่าวพลังงานการแพร่งสีที่ถูกส่องออกมายังมีค่าไม่ต่อเนื่อง แต่จะเป็นกثุ่ม ๆ ที่เรียกว่า ความตัน แต่พลางค์ไม่ได้คิดว่ามันแฟต่อเนื่องไปเป็นคลื่นแม่เหล็กไฟฟ้า ในอว拉斯 ดังนั้นไอน์สไตน์จึงได้เสนอว่า แสงที่มีความถี่ต่ำนี้จะมีกثุ่มของพลังงานเป็นกثุ่ม ๆ เรียกว่า ไฟตอน (photon) แต่กษกุ่มเคลื่อนที่ด้วยความเร็วของแสง ( $c$ )  $\frac{1}{c}$  ไฟตอนจะมีพลังงาน  $h\nu$  และแฟต่อไปในอว拉斯ได้ เมื่อมันถูกกระทบผิวโลหะก็เปลี่ยนเป็นพลังงานของอิเล็กตรอน ทำให้อิเล็กตรอนสามารถถูกปล่อยออกจากผิวโลหะได้

$$\text{เพาะจะนับ พลังงานของไฟตอน} = E = h\nu = h \frac{c}{\lambda} \dots\dots (7.39)$$

เนื่องจากความถี่ ( $\nu$ ) ที่ทำให้อิเล็กตรอนหลุดออกจากด้วยมีค่ามากกว่า  $\frac{1}{c}$  และการที่อิเล็กตรอนจะหลุดได้ต้องได้รับพลังงานต่ำสุดค่าหนึ่ง (work function,  $W$ ) ซึ่งขึ้นกับชนิดของโลหะ พลังงานของแสงที่ทำให้อิเล็กตรอนหลุดจะต้องมีค่ามากกว่าหรืออย่างน้อยเท่ากับ  $W$  ถ้ามากกว่า  $W$  อิเล็กตรอนที่หลุดออกจากจะมีพลังงานจน ( $\frac{1}{2}mv^2$ ) เพาะจะนับ

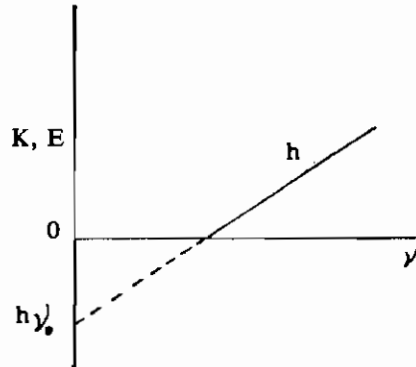
$$h\nu = W + \frac{1}{2}mv^2 \dots\dots (7.40)$$

$W$  = พลังงานน้อยที่สุดที่ทำให้อิเล็กตรอนหลุด =  $h\nu_0$  นั่นคือ

$$h\nu = h\nu_0 + \frac{1}{2}mv^2$$

$$\frac{1}{2}mv^2 = h\nu - h\nu_0 \dots\dots (7.41)$$

ค่า  $h\nu$  จะคงที่สำหรับโลหะชนิดหนึ่ง ๆ ดังนั้น พลังงานจลน์จะขึ้นกับความถี่  $\nu$  เพียงอย่างเดียว ถ้าเขียนกราฟระหว่างพลังงานจลน์กับความถี่ จะได้ความซัมเมินค่า  $h$  และจุดตัดแกนตั้งเป็นค่า  $h\nu_0$  ตามรูปที่ 7.4



รูปที่ 7.4 ความสัมพันธ์ระหว่างพลังงานจลน์กับความถี่ของแสงที่ตกกระทบผิวโลหะ

ความเข้มของแสงจะเป็นปฏิภาคโดยตรงกับจำนวนความตันหรือโฟตอน ถ้าแสงมีความเข้มสูงก็มีจำนวนความตันมากทำให้อิเล็กตรอนหลุดออกจากมีจำนวนมาก แต่จะไม่มีผลต่อพลังงานจลน์ของอิเล็กตรอนที่หลุดออกจาก นอกจากแสงจะมีความถี่เปลี่ยนไป

การใช้ทฤษฎีความตันอธินายประภูมิการณ์ทั้ง 2 อย่างได้ผลดี แสดงว่าแสงมีสมบัติเป็นอนุภาคได้หรือแสงประกอบด้วยอนุภาคโฟตอนเป็นจริง การทดลองที่สนับสนุนเรื่องนี้อย่างเด่นชัด คือ ประภูมิการณ์คอมพ์ตัน (The Compton effect) คอมพ์ตันเป็นนักวิทยาศาสตร์ชาวอเมริกัน ได้รับรางวัลโนเบลจากการผลงานชั้นนำของเขานี้ในปี 1927 ผลการทดลองของเขาก็แสดงให้เห็นว่าคลื่นแม่เหล็กไฟฟ้ามีสมบัติเป็นอนุภาคได้สมบูรณ์ เพราะไม่เพียงแต่โฟตอนจะมีพลังงานที่แน่นอน คือ  $h\nu$  เท่านั้น แต่มันยังมีโมเมนตัมที่แน่นอนเหมือนอนุภาคที่มีมวลทุกประการและมีค่าเท่ากับ  $\frac{h}{\lambda}$  โดยมีความตั้งของรังสีแม่เหล็กไฟฟ้าความถี่ค่าหนึ่งจะมีค่าเป็นพหุคูณของจำนวนเต็มของโมเมนตัมของโฟตอนเดียว ๆ นั่นคือหมายความว่าห้องพลังงานและโมเมนตัมของคลื่นแม่เหล็กไฟฟ้าจะถูกควบคุมไว้ในตัวเดียว

ก่อนจะกล่าวถึงอะตอมมิกส์เบเกอร์ที่แสดงให้เห็นความล้มเหลวของกลศาสตร์คลาสสิก ในการอธินายประภูมิการณ์ของอนุภาคที่มีขนาดเล็ก จะกล่าวถึงทฤษฎีอะตอมในตอนต้น ๆ ก่อน เพื่อสำคัญความคิดเกี่ยวกับโครงสร้างอะตอมในตอนแรก ๆ จนกระทั่งมีการนำทฤษฎีความตั้มมาใช้อธินายในตอนต่อมา

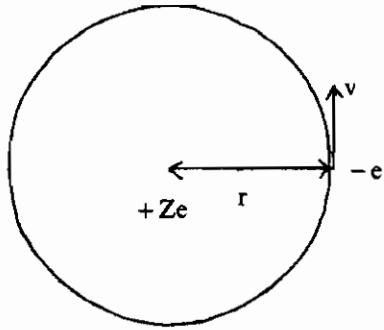
### 7.3) ทฤษฎีอะตอมยุคแรก (Early Atomic Theory)

ก่อนคริสตศวรรษที่ 19 นักวิทยาศาสตร์มีความคิดว่าสารทั้งหลายจะประกอบไปด้วยอะตอมแต่ยังไม่ทราบรายละเอียดของอะตอมมากนัก ในปี 1897 เชอร์เจ เจ ชอมพ์สัน (Sir J. J. Thomson) ได้ค้นพบอิเล็กตรอนและพยากรณ์ว่าตัวประจุของอิเล็กตรอน แต่ก็ตัดเพียงค่าประจุต่อมวลเท่านั้น ( $e/m$ ) เขายังได้เสนอแบบจำลองของอะตอมเป็นทรงกลมซึ่งมีประจุบวกและประจุลบบรรจุอยู่ปริมาณเท่ากันและปานเปกันไปทั่วทั้งก้อน และในปี 1909 อาร์ เอ มิลลิกัน (R. A. Millikan) ประสบความสำเร็จในการหาประจุของอิเล็กตรอน พบว่ามีค่าประจุเป็น  $1.60 \times 10^{-19}$  คูลโอมบ์ หรือ  $4.803 \times 10^{-10}$  esu. (ค่าที่แท้จริง ปัจจุบัน  $e = 1.6022 \times 10^{-19}$  คูลโอมบ์ หรือ  $4.8033 \times 10^{-10}$  esu) อย่างไรก็ตามแบบจำลองของอะตอมของชอมพ์สันก็ไม่ได้รับการพิสูจน์มาเป็นเวลา 13 ปีเต็ม จนกระทั่งมีการทดลองที่นำไปสู่การล้มเลิกแบบจำลองอะตอมของชอมพ์สัน

#### 7.3.1) การทดลองของรัทเชอร์ฟอร์ด (Rutherford's experiment)

ในปี 1911 เออร์เนสต์ รัทเชอร์ฟอร์ด (Ernest Rutherford) ได้ทำการทดลองยิงอนุภาคแหลมไฟฟ้าบวก จริง ๆ แล้วก็คือ นิวเคลียสของไฮเดรนน์เอง ยิงไปยังแผ่นทองคำ เป็นพบร่วมกันของอนุภาคและไฟฟ้าส่วนใหญ่วิ่งผ่านแผ่นโลหะออกไปตรง ๆ บางส่วนหักเหไปบ้าง และบางส่วนซึ่งน้อยมากสะท้อนกลับทิศทางเดิม และคงว่ามีมวลส่วนใหญ่ของอะตอมอยู่รวมกันในบริเวณรัศมี ณ อยู่ในใจกลางอะตอมเป็นประจุไฟฟ้าบวก เรียกว่า นิวเคลียส ส่วนอิเล็กตรอนจะอยู่รอบ ๆ มีระยะห่างออกไปจากนิวเคลียส นั้นคือภายในอะตอมจะมีที่ว่างมาก ทำให้ออนุภาคและไฟฟ้าวิ่งผ่านไปได้เป็นส่วนใหญ่ อนุภาคแหลมไฟบานบางส่วนที่วิ่งเข้าไปในนิวเคลียสจะเกิดการหักเหไปจากทิศทางเดิม และบางส่วนที่น้อยมากวิ่งชนนิวเคลียสทำให้เกิดการสะท้อนกลับในทิศทางเดิม ซึ่งการทดลองนี้ทำให้แบบจำลองอะตอมของชอมพ์สันไม่เป็นจริง

จากเหตุผลของรัทเชอร์ฟอร์ด การหักเหของอิเล็กตรอนคลื่อนที่อยู่รอบ ๆ นิวเคลียส ได้จะต้องมีแรงดึงระหว่างอิเล็กตรอนกับนิวเคลียส เรียกว่า แรงคูลومบิก (Coulombic force) เท่ากับแรงหนีศูนย์กลาง (centrifugal force) ของการเคลื่อนที่รอบวง



ถ้าประจุของนิวเคลียสเป็น  $+Ze$  ประจุของอิเล็กตรอนเป็น  $-e$  และมีระยะห่างกันเท่ากับ  $r$  ตามรูปที่ 7.5  $v$  เป็นความเร็วเชิงมุม (angular velocity)

รูปที่ 7.5 แสดงแรงกระทำระหว่างอิเล็กตรอนกับนิวเคลียสในอะตอม

$$\text{พลังงานศักย์ของการดึงดูด} = P = \frac{(+Ze)(-e)}{r} = -\frac{Ze^2}{r}$$

$$\text{เพรำณนั้นแรงของการดึง} = -\frac{dp}{dr} = -\frac{Ze^2}{r^2} \dots\dots (7.42)$$

$$\begin{aligned} \text{แรงหนืดศูนย์กลาง} &= \frac{mv^2}{r} = \text{แรงของการดึงในทิศทางตรงข้าม} \\ &= +\frac{Ze^2}{r^2} \dots\dots (7.43) \end{aligned}$$

$$\text{พลังงานรวมของอิเล็กตรอน} = \text{พลังงานจลน์} + \text{พลังงานศักย์}$$

$$\text{เพรำณนั้น} E = \frac{1}{2} mv^2 + \left(-\frac{Ze^2}{r}\right) \dots\dots (7.44)$$

$$\text{จากสมการ (7.43)} \quad mv^2 = \frac{Ze^2}{r} \quad \text{แทนลงในสมการ (7.44)}$$

$$\text{เพรำณนั้น} E = \frac{Ze^2}{2r} - \frac{Ze^2}{r} = -\frac{Ze^2}{2r} \dots\dots (7.45)$$

การที่พลังงานรวมของอิเล็กตรอนมีค่าเป็นลบ แสดงว่าพลังงานศักย์มากกว่าพลังงานจลน์ ทำให้อิเล็กตรอนถูกยึดอยู่ในอะตอมในลักษณะที่เรียกว่า bound particle พลังงานรวมเท่ากับ  $\frac{1}{2}$  ของพลังงานศักย์และเท่ากับพลังงานจลน์ที่มีค่าบันเฉียง อย่างไรก็ได้การที่อิเล็กตรอนจะวิ่งอยู่ในวงโคจรที่เสถียรจะต้องถูกเร่งตามกฎซีกเกลฟ์ฟาร์คคลาสสิก ในขณะเดียวกันอิเล็กตรอนหรือประจุ

ที่ถูกเร่งจะสูญเสียพลังงานไปเรื่อย ๆ เพราะต้องพยายามรักษาแม่เหล็กไฟฟ้าของมันเมื่อมีความเร่ง เพราะฉะนั้นการที่มันสูญเสียพลังงานความเร่งจะลดลงเรื่อย ๆ จนในที่สุดมันจะวิ่งเข้าชนนิวเคลียส ซึ่งขัดแย้งกับความเป็นจริง เพราะว่าจะต้องมีแรงดึงดูดจากมวลเข้าทำปฏิกิริยา เท่านั้น การใช้ทฤษฎีกลศาสตร์คลาสิกไม่สามารถอธิบายปรากฏการณ์กับอะตอมเจิงสัมมา เนื่องจากความเชื่อใจว่าพลังงานที่อิเล็กตรอนถ่ายออกมามีค่าต่ำกว่าตามทฤษฎีกลศาสตร์คลาสิก ในขณะที่จริง ๆ แล้วอิเล็กตรอนจะถ่ายพลังงานออกมามากกว่าช่วง ๆ ซึ่งจะพบปรากฏการณ์นี้ในอะตอมมิก-スペกตร้า และนิล บอร์ (Niels Bohr) ได้ใช้ทฤษฎีความตั้งมาริบายได้ ซึ่งจะได้กล่าวต่อไป

### 7.3.2) อะตอมมิก สเปกตร้า (Atomic spectra)

เมื่ออะตอมถูกกระตุ้นมันจะแผ่รังสีออกมาน การแผ่รังสีที่เกิดขึ้นจะมีสเปกตรัมที่ประกอบด้วยความยาวคลื่นเป็นบางค่าที่แน่นอน อะตอมของธาตุแต่ละชนิดจะมีสเปกตรัมพิเศษเฉพาะตัว ซึ่งผลลัพธ์นี้ทำให้สามารถวิเคราะห์องค์ประกอบของสารที่ไม่ทราบได้ ซึ่งเป็นหลักการของวิชาสเปกโตรสโคปีนั้นเอง

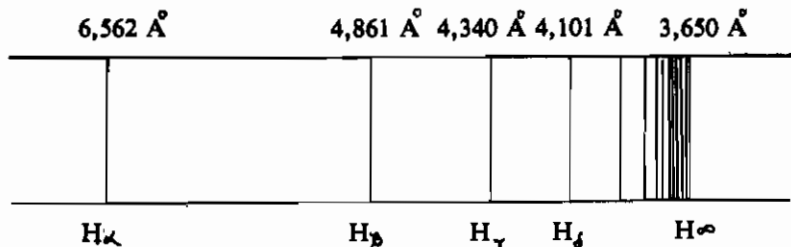
การศึกษาสเปกตรัมของอะตอมเริ่มต้นในปี ค.ศ. 1861 โดย เคอร์ ชอฟฟ์ (Kirchoff) และบุนเซน (Bunsen) เน้าศึกษาสเปกตรัมของพลาสติกไฟ และในปี 1885 บาลเมอร์ - (Balmer) ชาวสวีเดนได้พบสเปกตรัมของอะตอมไฮdroเจนเรียงกันเป็นลำดับซึ่งจำกัดอยู่ในรั้งมีรำเบียน และหากความยาวคลื่นได้อัญญาต์ในช่วงของวิสิเบิลกับอุณหภูมิไว้โดยเดาท์แล้วได้รูปที่ 7.6 หลังจากบาลเมอร์พบสูตรการคำนวณสเปกตรัมแล้วริดเบอร์ก (Rydberg) ชาวสวีเดนพยายามศึกษาสูตรให้ใช้ได้ทุกอะตอม เมื่อนำมาเปรียบเทียบกัน จะได้สมการทางคณิตศาสตร์เป็น

$$\frac{1}{\lambda} = R_H \left( \frac{1}{2^2} - \frac{1}{n^2} \right) \quad \dots \dots (7.46)$$

$n$  = เลขลงตัว ตั้งแต่ 3, 4, 5, ..., ∞

$R_H$  = ค่าคงที่ของริดเบอร์ก (Rydberg constant)

การนีของไฮdroเจน  $R_H = 109,677.60 \text{ cm}^{-1}$



รูปที่ 7.6 แสดงเส้นสเปกตรัมในอนุกรมนาลเมอร์ของอะตอมไฮดรอยเดน

อนุกรมนาลเมอร์นี้ ประกอบด้วยความยาวคลื่นในส่วนที่มองเห็นด้วยตา ถ้าศึกษาอะตอมของไฮดรอยเดนในช่วงความยาวคลื่นที่กว้างขวางกว่านี้จะพบอนุกรมอื่น ๆ อีก คือ อนุกรมไลมัน (Lyman series) คำนวนได้จากสมการ

$$\frac{1}{\lambda} = R_H \left( \frac{1}{1^2} - \frac{1}{n^2} \right) \quad \dots \dots (7.47)$$

เมื่อ  $n = 2, 3, 4, \dots$

อนุกรมไลมันอยู่ในช่วงอุ录ตราไวโอลেต บังเมื่ออนุกรมป๊าชเซน (Paschen series) อนุกรมแบร์กเก็ท (Brackett series) อนุกรมพฟุนด์ (Pfund series) อยู่ในช่วงอินฟารेड จึงมีการปรับปรุงสมการ (7.46) ให้ใช้ได้กับอนุกรม คือ

$$\frac{1}{\lambda} = R_H \left( \frac{1}{n_f^2} - \frac{1}{n_i^2} \right) \quad \dots \dots (7.48)$$

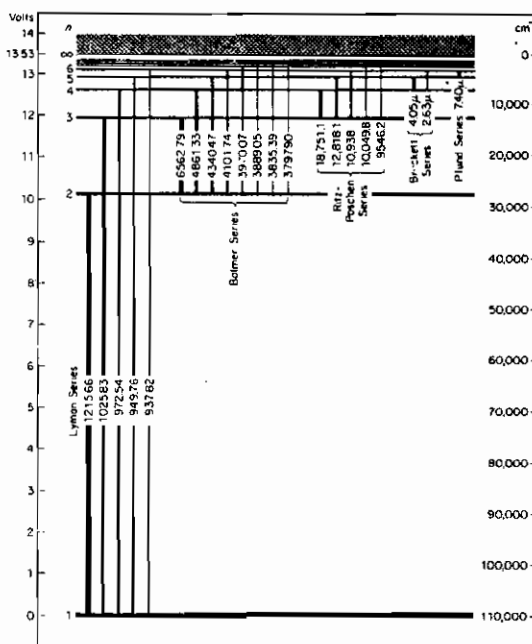
เมื่อ  $n_f = 1, 2, 3, \dots \infty$

$$n_i = (n_f + 1), (n_f + 2), (n_f + 3), \dots \infty$$

ถ้าเป็นอนุกรมไลมัน  $n_f = 1$  อนุกรมนาลเมอร์  $n_f = 2$  อนุกรมป๊าชเซน  $n_f = 3$  อนุกรมแบร์กเก็ท  $n_f = 4$  อนุกรมพฟุนด์  $n_f = 5$

การที่เส้นสเปกตรัมมีความคม (sharpness) ชัดเจน ทำให้การคำนวณหาค่า  $R_H$  ได้ถูกต้อง แม่นยำ แสดงว่าอะตอมจะถูกหรือถูกพลังงานด้วยความถี่ที่แน่นอนค่าหนึ่งไม่ใช่ค่าต่อเนื่องกันเป็นแทบ ๆ เพราจะฉะนั้นทำให้แบบจำลองอะตอมของรักเรอร์ฟอร์ดซึ่งต้องใช้กลศาสตร์คลาสสิกอธิ-

นาย น้ำมาร์บิเนียปรากฎการณ์นี้ไม่ได้ และไม่มีใครเข้าใจว่าทำไม่成จึงเกิดอะตอมมิกสเปกตรรainer ลักษณะเช่นนี้ได้ เป็นเวลาเกือบ 30 ปีต่อมา尼ลส์ บอร์ จึงสามารถให้ความกระฉงได้



รูปที่ 7.7 แสดงสเปกตรัมของอะตอมไฮโดรเจนในอนุกรมต่าง ๆ (ความยาวคลื่น หน่วย Å)

#### 7.4) ทฤษฎีของอะตอมไฮโดรเจนของบอร์ (The Bohr Theory of the Hydrogen Atom)

ความพยายามที่จะใช้กลศาสตร์คลาสสิกมาอธิบายโครงสร้างอะตอมประสบความล้มเหลวเนื่องจากอะตอมมีขนาดเล็กมาก ในปี 1913 นิลส์ บอร์ (Niels Bohr) ชาวเดนมาร์กได้นำความคิดเกี่ยวกับความตันนาไปใช้ โดยขยายมรรับแบบจำลองอะตอมของรัตน์เซอร์ฟอร์ดที่ว่าอะตอมประกอบด้วยนิวเคลียสอยู่ในศูนและมีอิเล็กตรอนวิ่งอยู่ข้างนอกรอบ ๆ นิวเคลียส แต่เขาเสนอว่าทฤษฎีเมื่อหลังไฟฟ้าคลาสสิกมาประยุกต์ใช้กับอิเล็กตรอนที่โคจรรอบนิวเคลียสไม่ได้ โดยเขาเสนอใหม่ว่า

ก) พลังงานของอิเล็กตรอนจะคงที่ในแต่ละอยู่ในวงโคจร (orbital) และจะอยู่ในวงโคจรนั้น ๆ จนกว่าจะมีการดูดกลืน (absorbed) หรือรายพลังงาน

ข) อิเล็กตรอนจะมีการเปลี่ยนแปลง (transition) ระดับพลังงานระหว่างสองระดับพลังงาน คือ  $E_i$  และ  $E_f$  เมื่อมีการดูดกลืนหรือรายพลังงานออกมาน ไฟฟ่อน เพื่อระดับนั้น

$$\Delta E = E_i - E_f = h\nu \dots (7.49)$$

ถ้าเป็นการคายพลังงาน  $\gamma$  = ความตื้นของเส้นสเปกตรัมที่สังเกตเห็น  
ถ้าเป็นการคุณลักษณะ  $\gamma$  = ความเรื่องโพตอนที่ถูกคุณลักษณะ

ค) ในวงโคจรหนึ่ง ๆ อิเล็กตรอนจะมีไม่แน่ดั้มเชิงมุมเป็นเลขลงตัวถูกกับ  $\frac{h}{2\pi}$  เพราะฉะนั้น

$$L = mvr = \frac{nh}{2\pi} \quad \dots \dots (7.50)$$

เมื่อ  $n = 1, 2, 3, \dots, \infty$

กลับไปพิจารณาสมการ (7.45) อีกครั้ง

$$\text{พลังงานรวมของอิเล็กตรอน} = E = -\frac{1}{2} \frac{mv^2}{r} = -\frac{ze^2}{2r}$$

กรณีนี้เป็นอะตอมไฮโดรเจน  $Z = 1$  เพราะฉะนั้นจะได้

$$v^2 = \frac{e^2}{mr} \quad \dots \dots (7.51)$$

จากสมการ (7.50) จะได้

$$m = \frac{nh}{2\pi vr} \quad \dots \dots (7.52)$$

$$\text{และ} \quad r = \frac{nh}{2\pi mv} \quad \dots \dots (7.53)$$

แทนค่า  $m$  ในสมการ (7.51)

$$v = \frac{2\pi e^2}{nh} \quad \dots \dots (7.54)$$

จาก  $E = -\frac{1}{2} \frac{mv^2}{r}$  แทนค่า  $v$  เข้าไปจะได้

$$E = -\frac{2\pi^2 me^4}{n^2 h^2} \quad \dots \dots (7.55)$$

แทนค่า  $v$  จากสมการ (7.54) ลงในสมการ (7.53) จะได้

$$r = \frac{n^2 h^2}{4 \pi^2 m e^2} \quad \dots \dots (7.56)$$

$n = 1, 2, 3, \dots$  เรียกว่าจำนวนควอนตัมสำคัญ (principle quantum number)

สมการ (7.55) และ (7.56) สำคัญมาก จะบอกให้รู้ระดับพลังงานของอิเล็กตรอนและรัศมีของวงโคจรของมัน อาจเขียนให้อยู่ในรูปง่าย ๆ ได้ดัง

$$E_n = E_1 \left( \frac{1}{n^2} \right) \quad \dots \dots (7.57)$$

เมื่อ  $E_1 = -\frac{2 \pi^2 m e^4}{h^2}$

และ  $r = a_0 n^2 \quad \dots \dots (7.58)$

เมื่อ  $a_0 = \frac{h^2}{4 \pi^2 m e^2}$

กรณีที่  $n = 1$  จะเป็นวงโคจรเล็กที่สุดของระดับพลังงานต่ำที่สุด  $a_0$  จะมีค่าเท่ากับ  $r$  เป็นรัศมีของวงโคจรที่หนึ่งของอะตอมไฮโดรเจน

$$a_0 = \frac{h^2}{4 \pi^2 m e^2} = 0.529167 \text{ Å}$$

ที่ระดับพลังงานต่ำสุด  $E_1$  เรียกว่า ส्थะนาะพื้น (ground state) ของอะตอมและระดับสูงขึ้นไปเป็น  $E_2, E_3, E_4, \dots$  เรียกว่า ส्थะนาะกระตุ้น (excited state)

การที่ระดับพลังงานมีค่าແน้นอนและต่าง ๆ กัน แสดงให้เห็นความสัมพันธ์ของเส้นสเปกตรัม เมื่ออิเล็กตรอนในส्थะนาะกระตุ้นย้ายไปอยู่ในส्थะนาะที่ต่ำกว่า จะคายระดับพลังงานออกมานะเป็นพลังงานของโฟตอน ถ้าจำนวนควอนตัมของส्थะนาะแรกซึ่งอยู่ในระดับพลังงานที่สูงกว่าเป็น  $n_i$  และจำนวนควอนตัมของส्थะนาะหลังมีระดับพลังงานต่ำกว่าเป็น  $n_f$  พลังงานที่คายออกมานะเป็น

$$\Delta E = E_i - E_f = h \nu$$

$$\text{เมื่อ } \nu = \frac{c}{\lambda} = c\nu \quad (\nu = \frac{1}{\lambda})$$

$$\text{เพราะฉนั้น } \nu \text{ หรือ } \frac{1}{\lambda} = \frac{\nu}{c} = \frac{h\nu}{hc} = \frac{\Delta E}{hc} \quad \dots \dots (7.59)$$

$$\text{จากสมการ (7.55)} \quad E_i = -\frac{2\pi^2 me^4}{n_i^2 h^2}$$

$$E_f = -\frac{2\pi^2 me^4}{n_f^2 h^2} -$$

$$\begin{aligned} \text{เพราะฉนั้น } \Delta E &= E_i - E_f = -\frac{2\pi^2 me^4}{n_i^2 h^2} + \frac{2\pi^2 me^4}{n_f^2 h^2} \\ &= \frac{2\pi^2 me^4}{h^2} \left( \frac{1}{n_f^2} - \frac{1}{n_i^2} \right) \dots \dots (7.60) \end{aligned}$$

แทนค่า  $\Delta E$  จากสมการ (7.60) ลงในสมการ (7.59) เพราะฉนั้น

$$\frac{1}{\lambda} = \frac{2\pi^2 me^4}{h^3 c} \left( \frac{1}{n_f^2} - \frac{1}{n_i^2} \right) \dots \dots (7.61)$$

เปรียบเทียบสมการ (7.61) กับสมการ (7.48)

$$R_H = \frac{2\pi^2 me^4}{h^3 c} = 109,737 \text{ cm}^{-1} \quad \dots \dots (7.62)$$

ค่าที่ได้เบอร์กอดลองได้  $109,677.60 \text{ cm}^{-1}$  จะเห็นว่าใกล้เคียงกัน ได้มีการแก้ไขค่า  $m$  ให้ถูกต้องยิ่งขึ้น โดยที่แม้ว่าอะลีกตรอนจะเล็กกว่าโปรตอนมาก many times แต่จะต้องคำว่าโปรตอน ก็จะต้องเคลื่อนที่ภายในได้อิทธิพลของอะลีกตรอนซึ่งกัน เพราะฉนั้นมันจะเป็นศูนย์กลางของกันและกัน ต้องคิด  $m$  เป็นมวลลด (reduced mass,  $\mu$ )

$$\mu = \frac{m_e m_p}{(m_e + m_p)} \quad \dots \dots (7.63)$$

$m_e$  = มวลของอิเล็กตรอน

$m_p$  = มวลของโปรตอน

$$\text{เมื่อแทนค่า } \mu \text{ เป็น } m \text{ ในสมการ (7.62) จะได้ } R_H = \frac{2\pi^2 \mu e^4}{h^2} = 109677 \text{ cm}^{-1}$$

ตรงกันกับการทดลอง เพาะะฉนั้นทฤษฎีของอะตอมใช้โครงเงื่อนของบอร์สอดคล้องกับผลการทดลอง ทั้งคุณภาพและปริมาณ สามารถอธิบายปรากฏการณ์อะตอมมิกสเปกตรัมของอะตอมใช้โครงเงื่อนได้อย่างดี

ทฤษฎีของบอร์ในการอธิบายสเปกตรัมของใช้โครงเงื่อนได้ใช้รากฐานของอะตอมกึ่งคลาสสิกกึ่งควอนตัมประสนความสำเร็จในการอธิบายอะตอมใช้โครงเงื่อนซึ่งมีอิเล็กตรอนเพียงตัวเดียว เมื่อนำมาไปใช้กับอะตอมที่มีอิเล็กตรอนเกิน 1 ตัวทฤษฎีของบอร์ก็ไม่สามารถนำมาใช้ได้ งานของพลังค์ งานของไออน์สไตน์และทฤษฎีของบอร์ จึงถือรวมกันว่าเป็น ทฤษฎีควอนตัมเก่า (the old quantum theory) เนื่องจากยังไม่ประสนผลสำเร็จเท่าที่ควรในการอธิบายอะตอมที่มีอิเล็กตรอนหลายตัว แม้ว่า ชอมเมอร์เฟลต์ (Sommerfeld) จะได้พยายามปรับปรุงทฤษฎีของบอร์ให้ดีขึ้นจนสามารถอธิบายปรากฏการณ์ซีเมน (Zeeman effect) ซึ่งเป็นปรากฏการณ์จากการทดลองที่พบว่าอะตอมในสนามแม่เหล็กจะให้สเปกตรัมที่ยุ่งยากขึ้นซ้อนกัน เมื่อไม่มีสนามแม่เหล็กได้แล้วก็ตาม ซึ่งแต่เดิมทฤษฎีของบอร์อธิบายไม่ได้ ชอมเมอร์เฟลต์ได้ตั้งสมมติฐานเพิ่มเดิมว่า อิเล็กตรอนนอกจากจะมีวงโคจรเป็นรูปวงกลมแล้ว ยังสามารถมีวงโคจรเป็นรูปวงรีได้อีกด้วย ซึ่งทำให้อธิบายปรากฏการณ์ซีเมนได้ แต่ยังไม่สามารถอธิบายอะตอมที่มีอิเล็กตรอนหลาย ๆ ตัวได้อยู่นั้นเอง ดังนั้นการใช้กลศาสตร์คลาสสิกอธิบายร่วมกับทฤษฎีควอนตัมจึงใช้ไม่ได้ หมายความว่าจะคิดว่า อิเล็กตรอนเป็นอนุภาคเล็ก ๆ ที่ประพฤติตัวเหมือนอนุภาคใหญ่ ๆ ในกลศาสตร์คลาสสิกจะทำให้อธิบายอะไรมีเดิมไม่ได้ จึงได้มีการศึกษาต่อมาจนเกิดความคิดว่า ถ้าอิเล็กตรอนประพฤติตัวเป็นคลื่น บ้างจะเป็นอย่างไร จึงได้นำกลศาสตร์คลื่นมาอธิบายร่วมกับทฤษฎีควอนตัม ในที่สุดก็เกิดทฤษฎีใหม่ขึ้นมาเรียกว่า กลศาสตร์ควอนตัม (quantum mechanics) และประสนผลสำเร็จในที่สุด

## แบบฝึกหัดบทที่ 7

- พิจารณาไปร์เจกไทร์ที่มีอิทธิพลจากโลก กิจกรรมในแนวตั้งเป็น  $y$  กิจกรรมในแนวอน茫茫เป็น  $x$  ก) จงเขียนฟังก์ชันลาแกเรนจี้ยน  $L$  ของระบบนี้ และใช้สมการของลาแกเรนจ์แสดงสมการดิฟเพื่อเรนเซียล 2 สมการซึ่งอยู่ในเชิงการเคลื่อนที่ของไปร์เจกไทร์ ข) จงเขียนฟังก์ชันชามิลโดยเนียน  $H$  ของระบบนี้ และแสดงสมการการเคลื่อนที่ของชามิลตัน
- ในตัวสั่นหารโนนิก 2 จุด มวลด  $m_1$  และ  $m_2$  ที่ต่อ กันด้วยลวดสปริง จงแก้สมการการเคลื่อนที่ของลาแกเรนจ์สำหรับระบบนี้ และแสดงว่าความถี่ของการสั่นสะเทือนเป็น

$$\nu = \frac{1}{2\pi} \sqrt{\frac{k}{\mu}}$$

- จากทฤษฎีของพลาสต์ ความยาวคลื่นของการคายสูงสุด ( $\lambda_{max}$ ) จากวัตถุคำคือ  $\lambda_{max} = ch/4.97 kT$  สมมติว่าดวงอาทิตย์เป็นวัตถุคำ จงคำนวณหาอุณหภูมิที่ความยาวคลื่นของการคายสูงสุดที่  $5000 \text{ \AA}$ .
- จงคำนวณหาพลังงานเฉลี่ยของตัวสั่นหารโนนิก ซึ่งมีความถี่  $10^{13} \text{ s}^{-1}$  ที่  $0, 10, 100, 1000$  และ  $10000 \text{ K}$  พร้อมทั้งหาค่า  $E/kT$  ที่แต่ละอุณหภูมิตัววัย และอย่างบ้ายผลที่ได้
- ความยาวคลื่นนีคิร์ฟ (threshold frequency) ของการคายแสงของอิเล็กตรอนจากลิทيوم เท่ากับ  $520 \text{ nm}$ . จงหาความเร็วของอิเล็กตรอนที่หลุดออกจากผิวของก้อนไฟฟ้าในไฟฟ่อนที่มีความยาวคลื่น  $300 \text{ nm}$ .
- จงคำนวณพลังงานเฉลี่ยของอิเล็กตรอนที่หลุดจากผิวไฟฟ่อนที่มีความยาวคลื่น  $3000 \text{ \AA}$  โดยกำหนดฟังก์ชันงาน ( $\psi$ ) ของไปร์เซียมเท่ากับ  $2.0 \text{ eV}$ .
- สเปกตรัมการคายของอะตอมไฮโตรเจน ถูกวิเคราะห์ระหว่าง  $1000 \text{ \AA}$  และ  $4000 \text{ \AA}$  เส้นอะไรบังที่จะพบในช่วงนี้
- จงคำนวณความถี่และความยาวคลื่นในหน่วย  $\text{\AA}$  สำหรับอนุกรมปัสเซน ของสเปกตรัมไฮโตรเจน ซึ่งเกิดจากการเปลี่ยนแปลงจากระดับความตันที่หกไประดับที่สาม
- จงคำนวณความยาวคลื่นของ 2 เส้นแรก และอนุกรมจำกัดในอนุกรมไลเมน สำหรับอะตอมไฮโตรเจน ( $n_f = 1$ )
- จงคำนวณพลังงานที่ต้องการ ในการเอาอิเล็กตรอนออกไปจากสถานะพื้นของอะตอมไฮโตรเจน (คือจาก  $n = 1$  ไป  $n = \infty$ ) พลังงานที่คำนวณได้นี้ เปรียบเทียบกับพลังงานศักย์ของการอ่อนในซึ่งที่สังเกตได้เป็นอย่างไร และโดยวิธีเดียวกัน หาพลังงานศักย์ของการอ่อนในซึ่ง

ของ  $\text{Be}^{3+}$  ตามทฤษฎีของบอร์ (พลังงานศักย์การอิօօในชั้นของ H,  $I_1 = 13.595 \text{ eV}$ . ของ  $\text{Be}^{3+}$ ,  $I_4 = 217.7 \text{ eV}$ .)

11. จงคำนวณความยาวคลื่นในหน่วยไมโครเมตรของสเปกตรัม 3 เส้นแรกของอนุกรมปัสเซ่น สำหรับอะตอมไฮโตรเจน

12. จงคำนวณความยาวคลื่นแสงที่คายออกมามีอิเล็กตรอนเปลี่ยนแปลงระดับพัลซ์งานจาก  $n = 100$  มาเป็น  $n = 99$  ในอะตอมไฮโตรเจน

---